

**EKO-CONNECT**

LABORATORIUM BADAWCZE PÓL ELEKTROMAGNETYCZNYCH

EKO-Connect Sp. z o.o.
60-591 POZNAŃ, ul. MIODOWA 14A
Tel. 790 200 181
Tel. 790 004 761
e-mail: laboratorium@eko-connect.pl

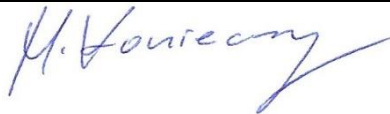


AB 1810

SPRAWOZDANIE NR OS/0232/23

Z POMIARÓW NATĘŻENIA PÓL ELEKTROMAGNETYCZNYCH

WYKONANYCH DLA CELÓW OCHRONY ŚRODOWISKA

Miejsce wykonania badania: <small>(dane uzyskane od zleceniodawcy)</small>	JAS7100A 44-336 Jastrzębie-Zdrój, Podleśna dz. nr 54, pow. Jastrzębie-Zdrój, woj. ŚLĄSKIE	
Współrzędne geograficzne:	49°55'54.30"N 18°38'22.34"E	
Data wykonania pomiarów:	03.07.2023	
Data wydania sprawozdania:	03.07.2023	
Zleceniodawca:	P4 sp. z o.o. ul. Wynalazek 1 02-667 Warszawa	
Sprawozdanie sporządził:	Maciej Konieczny	
Sprawozdanie autoryzował:	Wojciech Lubiński	

1. INFORMACJE O UŻYTKOWNIKU

1.1. Zleceniodawca: P4 sp. z o.o. ul. Wynalazek 1, 02-667 Warszawa

1.2. Charakterystyka obiektu:

- **Typ obiekt:** Instalacja radiokomunikacyjna zainstalowana na wieży kratowej
- **Numer obiektu:** JAS7100A
- **Adres obiektu:** 44-336 Jastrzębie-Zdrój, Podleśna dz. nr 54, pow. Jastrzębie-Zdrój, woj. ŚLĄSKIE
- **Współrzędne geograficzne:** 49°55'54.30"N 18°38'22.34"E

2. CHARAKTERYSTYKA ŹRÓDEŁ PEM (dane pozyskane od Klienta)

Tabela 1. Parametry systemu nadawczo-odbiorczego

Charakterystyka promieniowania				kierunkowa					
Rzeczywisty czas pracy [h/dobę]				Całodobowa 24h					
Warunki pracy				Znamionowe					
Rodzaj wytwarzanego pola				stacjonarne					
Lp.	Typ nadajnika	Antena Producent / Typ	Azymut [°]	Wysokość środka elektr. anteny [m n.p.t.]	Pasma [Mhz]	Kąt nachylenia [°]	EIRP dla anteny [W]	LON	LAT
1	DBS3xxx/5xxx	Huawei A704516R0	50	53	800	0 - 12	710	18°38'22.34"E	49°55'54.30"N
2	DBS3xxx/5xxx	Huawei A704516R0	50	53	800	0 - 12	710	18°38'22.34"E	49°55'54.30"N
3	DBS3xxx/5xxx	Huawei ATR4518R6	50	53	900	0 - 10	1930	18°38'22.34"E	49°55'54.30"N
	1800				0 - 10	18°38'22.34"E		49°55'54.30"N	
	2100				0 - 10	18°38'22.34"E		49°55'54.30"N	
4	DBS3xxx/5xxx	Huawei A704516R0	160	53	800	0 - 12	710	18°38'22.34"E	49°55'54.30"N
5	DBS3xxx/5xxx	Huawei A704516R0	160	53	800	0 - 12	710	18°38'22.34"E	49°55'54.30"N
6	DBS3xxx/5xxx	Huawei ATR4518R6	160	53	900	0 - 10	1930	18°38'22.34"E	49°55'54.30"N
	1800				0 - 10	18°38'22.34"E		49°55'54.30"N	
	2100				0 - 10	18°38'22.34"E		49°55'54.30"N	
7	DBS3xxx/5xxx	Huawei A704516R0	270	53	800	0 - 12	710	18°38'22.34"E	49°55'54.30"N
8	DBS3xxx/5xxx	Huawei A704516R0	270	53	800	0 - 12	710	18°38'22.34"E	49°55'54.30"N
9	DBS3xxx/5xxx	Huawei ATR4518R6	270	53	900	0 - 10	1930	18°38'22.34"E	49°55'54.30"N
	1800				0 - 10	18°38'22.34"E		49°55'54.30"N	
	2100				0 - 10	18°38'22.34"E		49°55'54.30"N	

Tabela 2. Parametry radiolinii

Charakterystyka promieniowania				kierunkowa					
Rzeczywisty czas pracy [h/dobę]				24					
Rodzaj wytwarzanego pola				stacjonarne					
Linia radiowa				Antena					
Lp	Typ nadajnika	Częstotliwość pracy [GHz]	Moc wyjściowa [dBm]	Typ/producent	Średnica anteny [m]	Azymut [°]	Wysokość zainstal. [m]	LON	LAT
1	OPTIX RTN/HUAWEI	32	26	0.3-32(A32D03)	0,3	346	49,7	18°38'22.34"E	49°55'54.30"N

Inne źródła PEM: W obszarze pomiarowym badanego obiektu **nie występują** inne źródła promieniowania pola elektromagnetycznego, które w zakresie badanych częstotliwości bezpośrednio wpływają na wynik wartości mierzonej natężenia pola.

3. OPIS POMIARÓW

Cel badań: Sprawdzenie dotrzymania dopuszczalnych poziomów pól elektromagnetycznych, w otoczeniu instalacji wytwarzających takie pola.

3.1. Data pomiarów: 03.07.2023

3.2. Nazwiska osób wykonujących pomiary: Wojciech Lubiński

3.3. Osoba towarzysząca: brak

3.4. Aparatura pomiarowa:

Tabela 3. Opis zestawu pomiarowego

Nazwa	Typ/model	Numer fabryczny/SN	Świadectwo wzorcowania	Zastosowanie
Szerokopasmowy miernik natężenia pola elektromagnetycznego	NBM- 520	D-2225	LWiMP/W/087/22 z dnia 19.05.2022 (Laboratorium Wzorców i Metrologii Pola Elektromagnetycznego Instytutu Telekomunikacji, Teleinformatyki i Akustyki Politechniki Wrocławskiej)	Pomiary pola elektromagnetycznego
Sonda pomiarowa pola elektrycznego	EF-9091	A-0136		
Szerokopasmowy miernik natężenia pola elektromagnetycznego	NBM- 520	D-2187	LWiMP/W/381/22 z dnia 28.11.2022 (Laboratorium Wzorców i Metrologii Pola Elektromagnetycznego Instytutu Telekomunikacji, Teleinformatyki i Akustyki Politechniki Wrocławskiej)	
Sonda pomiarowa pola elektrycznego	EF-0691	J-0201		
Termohigrometr	ETI 600 224-600	D22060187	LPTW/327/2022 z dnia 10.05.2022 (LPTW)	Pomiary wilgotności względnej powietrza Pomiary temperatury powietrza
Dalmierz laserowy	PLR30C	221220722	45854/2 /2022 z dnia 17.05.2022 (Laboratorium pomiarowe LABOTRONIC)	Pomiar odległości
Odbiornik GPS	Garmin GLO2	1792A-A1156/5PS056463	-	Pomiar współrzędnych geograficznych

3.5. Wyznaczenie niepewności pomiarów:

Ocenę niepewności przyjmuje się zgodnie z procedurą stosowaną w laboratorium.

Wyznaczona rozszerzona niepewność pomiaru dla współczynnika rozszerzenia $k = 2$ dla zestawu pomiarowego z pkt.3.5 w dniu pomiaru wynosi 21,46%.

3.6. Kryteria przedstawiania stwierdzeń zgodności

Niniejsze sprawozdanie zgodnie z zasadami systemu akredytacji zawiera stwierdzenia zgodności.

W przypadku badań poziomów pola elektromagnetycznego w środowisku stwierdzenie zgodności dotyczy rozstrzygnięcia, czy zmierzona wartość opisująca pole elektromagnetyczne przekracza wartość dopuszczalną dla zakresu częstotliwości, w którym pracują źródła podane w Rozporządzeniu Ministra Zdrowia z dnia 17 grudnia 2019 r. w sprawie dopuszczalnych poziomów pól elektromagnetycznych w środowisku (Dz. U. z 2019 r. poz. 2448).

3.7. Metodyka wykonania pomiarów:

Zastosowano metodę znormalizowaną w oparciu o Rozporządzenie Ministra Klimatu i Środowiska z dnia 6 maja 2022 r. zmieniające rozporządzenie w sprawie sposobów sprawdzania dotrzymania dopuszczalnych poziomów pól elektromagnetycznych w środowisku (Dz.U. 2022 poz. 1121).

3.8. Przepisy prawne:

- Ustawa z dnia 27 kwietnia 2001 r. Prawo ochrony środowiska (Dz. U. 2022 poz. 2556).
- Rozporządzenie Ministra Zdrowia z dnia 17 grudnia 2019 r. w sprawie dopuszczalnych poziomów pól elektromagnetycznych w środowisku (Dz. U. z 2019 r. poz. 2448).
- Rozporządzenie Ministra Klimatu z dnia 17 lutego 2020 r. w sprawie sposobów sprawdzania dotrzymania dopuszczalnych poziomów pól elektromagnetycznych w środowisku Załącznik do obwieszczenia Ministra Klimatu i Środowiska z dnia 21 listopada 2022 r. (Dz. U. poz. 2630)

3.9. Opis pomiarów

Stacja bazowa JAS7100A usytuowana jest na wieży kratowej zlokalizowanej pod adresem 44-336 Jastrzębie-Zdrój, Podleśna dz. nr 54, pow. Jastrzębie-Zdrój, woj. ŚLĄSKIE. Anteny i moduły RRU zamontowane są na antenowych konstrukcjach wsporczych a urządzenia są w szafie APM zainstalowanej u podnóża wieży. W najbliższym otoczeniu stacji zlokalizowana jest zabudowa jednorodzinna oraz wielorodzinna, zabudowa handlowo-usługowa oraz zabudowa użyteczności publicznej. Analiza parametrów technicznych wykazała, że urządzenia nadawcze stacji pracują w paśmie częstotliwości zgodnie z tabelą 1 oraz tabelą 2. Moc wyjściowa nadajników doprowadzona jest do anten przy pomocy ekranowanych fiderów.

Pomiary w otoczeniu Stacji bazowej wykonano wzdłuż kierunków maksymalnego zasięgu oddziaływania pola elektromagnetycznego na azymucie anten sektorowych do odległości określonej zgodnie z wytycznymi zawartymi w instrukcji wykonywania pomiarów, w godzinach od 10:40 do 11:15, podczas rzeczywistej pracy urządzeń wytwarzających pola elektromagnetyczne. Pomiary wykonano dla średniego pochylenia wiązki liczonego jako średnia arytmetyczna z minimalnej i maksymalnej wartości stosowanego lub planowanego kąta pochylenia

Pomiary w przyjętych pionach pomiarowych wykonano w punktach położonych na wysokościach od 0,3 m do 2,0 m nad powierzchnią ziemi lub nad innymi powierzchniami, na których mogą przebywać ludzie, przyjmując za wynik pomiaru maksymalny poziom natężenie pól elektromagnetycznego.

Przy doborze pionów pomiarowych uwzględniono charakter i sposób zagospodarowania terenu otaczającego stację bazową.

3.10. Warunki meteorologiczne / środowiskowe:

Miejsce pomiaru	Temperatura (Minimalna/Maksymalna) [°C]	Wilgotność (Minimalna/Maksymalna) [%]	Opady atmosferyczne
Ulica	24,0/24,0	43,0/43,0	nie wystąpiły

3.11. Sposób identyfikacji widma częstotliwości:

Parametry stacji bazowej uzyskane od właściciela instalacji stacji bazowej.

4. WYNIKI POMIARÓW

Wyniki pomiarów ważne są jedynie dla danej konfiguracji urządzeń w dniu, w którym wykonano pomiary.

Wynik pomiaru, to maksymalna wartości chwilowa zmierzona w danym pionie pomiarowym powiększona o rozszerzoną niepewność pomiaru U dla współczynnika rozszerzenia $k = 2$.

Tabela 3. Dopuszczalne poziomy pól elektromagnetycznych

Parametr fizyczny	Składowa elektryczna	Składowa magnetyczna
Zakres częstotliwości pola elektromagnetycznego		
od 400 MHz do 2000 MHz	$1,375 \times f^{0,5}$ V/m	$0,0375 \times f^{0,5}$ A/m
Od 2 GHz do 300 GHz	61 V/m	0,16 A/m

Do wyznaczania wartości wskaźnikowych WM_E i WM_H przyjęto najniższe wartości dopuszczalne poziomów pól elektromagnetycznych w/w zakresach częstotliwości.

Tabela 4. Wyniki pomiarów

Nr pionu	Opis miejsca pomiaru	Pomiar wewnątrz pomieszczenia	Współrzędne geograficzne		Wynik poniżej progu detekcji	E_p [V/m]	U [V/m]	$E_p + U$ [V/m]	H [A/m]	WME	WMH	Przekroczenie wartości dopuszczalnej
			[°] N	[°] E								
1	Poziom gruntu - pomocniczy pion pomiarowy	NIE	49,931473749	18,640304664	TAK	<1,00	0,22	1,22	0,003	0,04	0,044	nie przekracza
2	Poziom gruntu - oś głównej wiązki anteny sektorowej azymut 160st	NIE	49,931560345	18,639665938	NIE	1,08	0,24	1,32	0,004	0,05	0,047	nie przekracza
3	Poziom gruntu - oś głównej wiązki anteny sektorowej azymut 270st	NIE	49,931693743	18,638992752	TAK	<1,00	0,22	1,22	0,003	0,04	0,044	nie przekracza
4	Poziom gruntu - oś głównej wiązki anteny sektorowej azymut 270st	NIE	49,931718232	18,638382532	TAK	<1,00	0,22	1,22	0,003	0,04	0,044	nie przekracza
5	Poziom gruntu - oś głównej wiązki anteny sektorowej azymut 270st	NIE	49,931768106	18,636519505	TAK	<1,00	0,22	1,22	0,003	0,04	0,044	nie przekracza
6	Poziom gruntu - oś głównej wiązki anteny sektorowej azymut 270st	NIE	49,931724684	18,635482883	TAK	<1,00	0,22	1,22	0,003	0,04	0,020	nie przekracza
7	Poziom gruntu - oś głównej wiązki anteny	NIE	49,931739958	18,634516267	TAK	<1,00	0,22	1,22	0,003	0,04	0,020	nie przekracza

Nr pionu	Opis miejsca pomiaru	Pomiar wewnętrzny pomieszczenia	Współrzędne geograficzne		Wynik poniżej progu detekcji	E _p [V/m]	U [V/m]	E _p + U [V/m]	H [A/m]	WME	WMH	Przekroczenie wartości dopuszczalnej
			[°] N	[°] E								
	sektorowej azymut 270st											
8	Poziom gruntu - pomocniczy pion pomiarowy	NIE	49,931021106	18,635860344	TAK	<1,00	0,22	1,22	0,003	0,04	0,020	nie przekracza
9	Poziom gruntu - pomocniczy pion pomiarowy	NIE	49,930291241	18,638554626	TAK	<1,00	0,22	1,22	0,003	0,04	0,020	nie przekracza
10	Poziom gruntu - pomocniczy pion pomiarowy	NIE	49,931000183	18,638785893	TAK	<1,00	0,22	1,22	0,003	0,04	0,020	nie przekracza
11	Poziom gruntu - pomocniczy pion pomiarowy	NIE	49,931067484	18,639342902	TAK	<1,00	0,22	1,22	0,003	0,04	0,020	nie przekracza
12	Poziom gruntu - oś głównej wiązki anteny sektorowej azymut 160st	NIE	49,931203938	18,639872133	TAK	<1,00	0,22	1,22	0,003	0,04	0,044	nie przekracza
13	Poziom gruntu - oś głównej wiązki anteny sektorowej azymut 160st	NIE	49,930747403	18,640135859	NIE	1,11	0,24	1,35	0,004	0,05	0,048	nie przekracza
14	Poziom gruntu - oś głównej wiązki anteny sektorowej azymut 160st	NIE	49,930310111	18,640323869	TAK	<1,00	0,22	1,22	0,003	0,04	0,044	nie przekracza
15	Poziom gruntu - oś głównej wiązki anteny sektorowej azymut 160st	NIE	49,929799234	18,640668125	TAK	<1,00	0,22	1,22	0,003	0,04	0,044	nie przekracza
16	Poziom gruntu - oś głównej wiązki anteny sektorowej azymut 160st	NIE	49,928664850	18,641319976	TAK	<1,00	0,22	1,22	0,003	0,04	0,044	nie przekracza
17	Poziom gruntu - pomocniczy pion pomiarowy	NIE	49,930324039	18,641801528	TAK	<1,00	0,22	1,22	0,003	0,04	0,044	nie przekracza
18	Poziom gruntu - pomocniczy pion pomiarowy	NIE	49,930871952	18,643132710	TAK	<1,00	0,22	1,22	0,003	0,04	0,044	nie przekracza
19	Poziom gruntu - pomocniczy pion pomiarowy	NIE	49,931147126	18,641761414	TAK	<1,00	0,22	1,22	0,003	0,04	0,044	nie przekracza
20	Poziom gruntu - pomocniczy pion pomiarowy	NIE	49,931712486	18,642779683	TAK	<1,00	0,22	1,22	0,003	0,04	0,044	nie przekracza
21	Poziom gruntu - pomocniczy pion pomiarowy	NIE	49,931821489	18,644682717	TAK	<1,00	0,22	1,22	0,003	0,04	0,044	nie przekracza
22	Poziom gruntu - pomocniczy pion pomiarowy	NIE	49,932153519	18,641422087	TAK	<1,00	0,22	1,22	0,003	0,04	0,044	nie przekracza
23	Poziom gruntu - oś głównej wiązki anteny sektorowej azymut 50st	NIE	49,932044683	18,640140096	NIE	1,17	0,26	1,43	0,004	0,05	0,051	nie przekracza
24	Poziom gruntu - oś głównej wiązki anteny sektorowej azymut 50st	NIE	49,932442392	18,640907415	NIE	1,08	0,24	1,32	0,004	0,05	0,047	nie przekracza
25	Poziom gruntu - oś głównej wiązki anteny sektorowej azymut 50st	NIE	49,932903783	18,641757326	TAK	<1,00	0,22	1,22	0,003	0,04	0,044	nie przekracza
26	Poziom gruntu - oś głównej wiązki anteny sektorowej azymut 50st	NIE	49,933843567	18,643469989	TAK	<1,00	0,22	1,22	0,003	0,04	0,044	nie przekracza
27	Poziom gruntu - pomocniczy pion pomiarowy	NIE	49,933658752	18,641763111	TAK	<1,00	0,22	1,22	0,003	0,04	0,044	nie przekracza
28	Poziom gruntu - pomocniczy pion pomiarowy	NIE	49,933014115	18,640390368	TAK	<1,00	0,22	1,22	0,003	0,04	0,044	nie przekracza

Nr pionu	Opis miejsca pomiaru	Pomiar wewnątrz pomieszczenia	Współrzędne geograficzne		Wynik poniżej progu detekcji	E_p [V/m]	U [V/m]	$E_p + U$ [V/m]	H [A/m]	WME	WMH	Przekroczenie wartości dopuszczalnej
			[°] N	[°] E								
29	Poziom gruntu - oś głównej wiązki anteny radioliniowej azymut 346st	NIE	49,932133900	18,639433676	TAK	<1,00	0,22	1,22	0,003	0,04	0,044	nie przekracza
30	Poziom gruntu - oś głównej wiązki anteny radioliniowej azymut 346st	NIE	49,932612419	18,639249143	TAK	<1,00	0,22	1,22	0,003	0,04	0,044	nie przekracza
31	Poziom gruntu - pomocniczy pion pomiarowy	NIE	49,933521109	18,639772607	TAK	<1,00	0,22	1,22	0,003	0,04	0,044	nie przekracza
32	Poziom gruntu - pomocniczy pion pomiarowy	NIE	49,933735171	18,637952927	TAK	<1,00	0,22	1,22	0,003	0,04	0,044	nie przekracza
33	Poziom gruntu - pomocniczy pion pomiarowy	NIE	49,933187703	18,637041810	TAK	<1,00	0,22	1,22	0,003	0,04	0,044	nie przekracza
34	Poziom gruntu - pomocniczy pion pomiarowy	NIE	49,932594405	18,637799344	TAK	<1,00	0,22	1,22	0,003	0,04	0,044	nie przekracza
35	Poziom gruntu - pomocniczy pion pomiarowy	NIE	49,932575496	18,636030018	TAK	<1,00	0,22	1,22	0,003	0,04	0,044	nie przekracza

Objaśnienia:

$$E_p: E_{poprawne} = E_{wskazane} * C_{d(E)} * C_{f(f)}$$

U - rozszerzona niepewność pomiaru dla współczynnika rozszerzenia $k=2$ (poziom ufności 95%) – $U = k \times U_c$

H – wyznaczona wartość natężenia pola magnetycznego z uwzględnieniem współczynnika korekcyjnego oraz rozszerzonej niepewności pomiaru.

WME - wartość wskaźnikowa poziomu oddziaływania pól elektromagnetycznych dla miejsc dostępnych dla ludności dla składowej elektrycznej pola.

WMH - wartość wskaźnikowa poziomu oddziaływania pól elektromagnetycznych dla miejsc dostępnych dla ludności dla składowej magnetycznej pola.

* wartość zmierzona poniżej zakresu akredytacji. Do obliczeń przyjęto wartość zgodną z dolną granicą akredytowanego zakresu pomiarowego metody.

5. WNIOSKI

Stwierdza się, iż na podstawie uzyskanych wyników pomiarów i informacji uzyskanych od operatora, w otoczeniu stacji bazowej telefonii komórkowej JAS7100A w miejscach dostępnych dla ludności, w których dokonano pomiaru, nie zostały przekroczone wartości graniczne poziomów pól elektromagnetycznych określonych w Rozporządzeniu Ministra Zdrowia z dnia 17 grudnia 2019 r. w sprawie dopuszczalnych poziomów pól elektromagnetycznych w środowisku (Dz. U. z 2019 r. poz. 2448).

Stwierdzenie zgodności zostało przedstawione na podstawie wyników badań oraz informacji uzyskanych od klienta (za które Laboratorium nie ponosi odpowiedzialności) dla instalacji opisanej w punkcie 2. Stwierdzenia zgodności dokonano na podstawie zasady podejmowania decyzji i wymagań zawartych w załączniku do Rozporządzenia Ministra Klimatu z dnia 17 lutego 2020 r. w sprawie sposobów sprawdzania dotrzymania dopuszczalnych poziomów pól elektromagnetycznych w środowisku (Dz. U. 2020, poz. 258, Dz. U. 2022, poz. 1121).

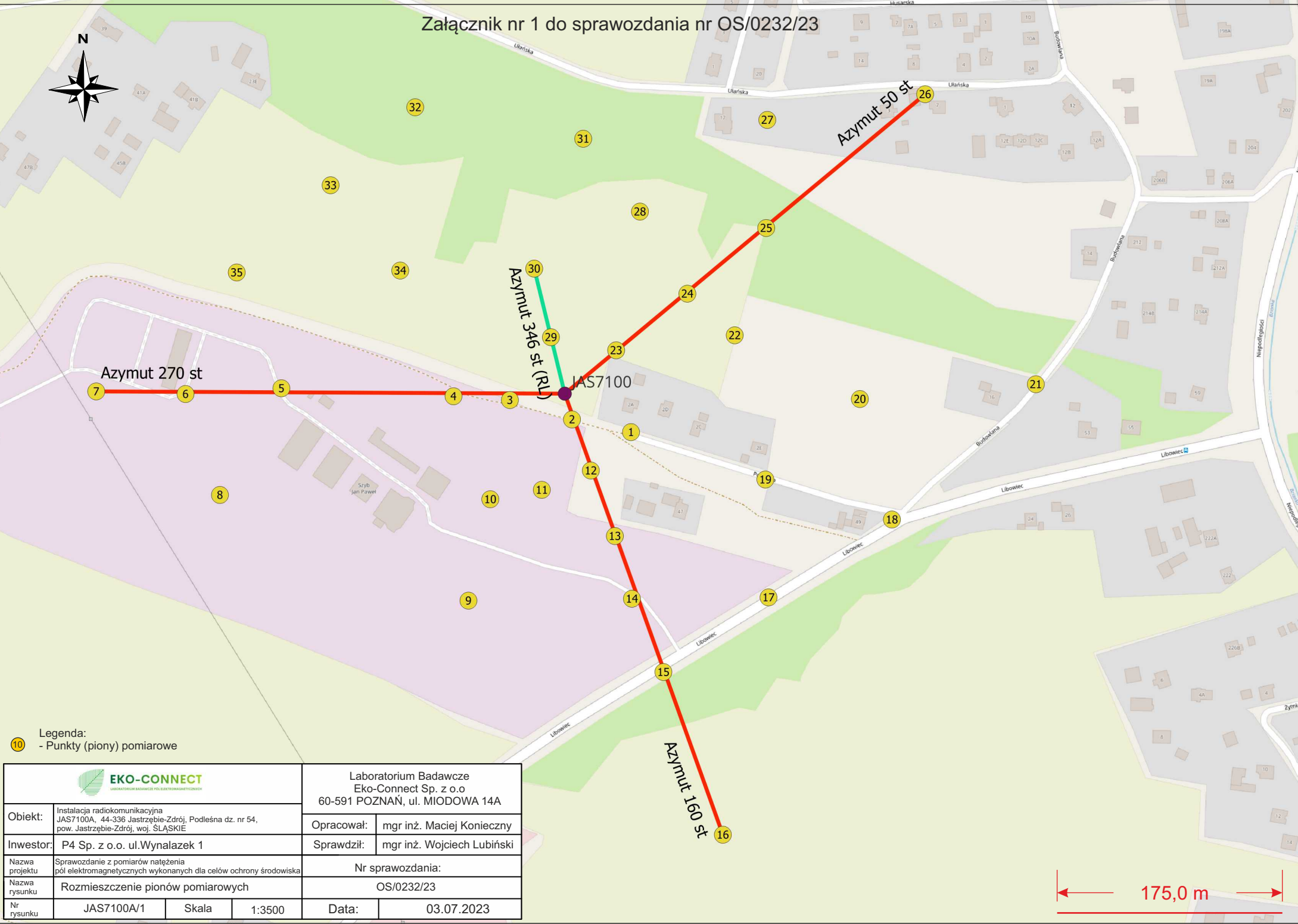
- Sprawozdanie zawiera 9 stron
- załączniki: nr 1 – mapa z rozmieszczeniem pionów pomiarowych wokół obiektu

Bez pisemnego zezwolenia laboratorium Eko-Connect sprawozdanie nie może być powielane inaczej, jak tylko w całości.

- Otrzymują:
 1. Zleceniodawca: - 1 egz.
 2. a / a: 1 egz.

Koniec sprawozdania

Załącznik nr 1 do sprawozdania nr OS/0232/23



Legenda:
10 - Punkty (piony) pomiarowe

 <small>LABORATORIUM BADAWCZE Pól ELEKTROMAGNETYCZNYCH</small>		Laboratorium Badawcze Eko-Connect Sp. z o.o 60-591 POZNAŃ, ul. MIODOWA 14A	
Obiekt:	Instalacja radiokomunikacyjna JAS7100A, 44-336 Jastrzębie-Zdrój, Podleśna dz. nr 54, pow. Jastrzębie-Zdrój, woj. ŚLĄSKIE	Opracował:	mgr inż. Maciej Konieczny
Inwestor:	P4 Sp. z o.o. ul. Wynałazek 1	Sprawdził:	mgr inż. Wojciech Lubiński
Nazwa projektu	Sprawozdanie z pomiarów natężenia pól elektromagnetycznych wykonanych dla celów ochrony środowiska	Nr sprawozdania:	
Nazwa rysunku	Rozmieszczenie pionów pomiarowych	OS/0232/23	
Nr rysunku	JAS7100A/1	Skala	1:3500
		Data:	03.07.2023

